

煤矿科学技术论文选

采掘机械的设计和计算

苏联 阿·阿·鲍里索夫等著
薛健 寒恩渐 李鐵 陈春泰譯

煤炭工业出版社

煤矿科学技术論文选

采掘机械的设计和计算

薛健 等著 梁恩漸 李鑑 陈春泰譯

煤礦工业出版社

本書共包括七篇論文。這些論文是從苏联國立礦山技術書籍出版社出版的“礦山機器的計算與設計”（1951）和“礦山機器的計算、設計與試驗”（1955）兩書中選擇下來的專門探討礦山采掘機械設計和計算的某些理論問題。

本書第一篇由薛健譯，第二、三篇由甯恩漸譯，第四、五篇由李鐵譯，第六、七篇由陳春泰譯。

本書可供礦山機械設計人員和礦院師生參考。

CS7

礦山科學技術論文選
采掘機械的設計和計算

薛健 紗恩漸 李鐵 陳春泰譯

*

煤炭工業出版社出版（地址：北京市長安街煤炭工業部）

北京市書刊出版發售許可證出字第084號

煤炭工業出版社印刷廠排印 新華書店發行

*

開本850×1168公厘 $\frac{1}{42}$ 印張 $\frac{15}{10}$ 字數184,000

1958年6月北京第1版 1958年6月北京第1次印刷

統一書號：15035·423 印數：0,001—2,000冊 定價：(11)1.70元

目 录

用冲击载荷破碎煤和岩石	1
降低采煤能容量的途径	52
用从工作面裸露表面破碎的方法破碎煤的工作机构	64
飞輪質量对平衡矿山机械載荷的影响	104
掘进康拜因行星工作机构原理的某些問題	115
“頓巴斯”康拜因工作时鋼繩張力的試驗確定	195
現代計算法在采煤机械制造中的利用	213

用冲击載荷破碎煤和岩石

技术科學碩士 A. A. 鮑里索夫副教授

在本文中提出了以下諸問題的研究情況：冲击載荷作用下煤和矿山岩石的破碎過程；破碎過程的能容量；消耗于破碎試件上的能量和冲击物体的能量間的一般關係；在靜載荷作用下所需的能量和冲击載荷作用下所需能量間的對比關係。

只有研究了不同施加載荷方法下及不同載荷條件下破碎煤的規律，只有在這樣的基础上，才有可能創造出具有高度生產率的矿山機械來。用冲击載荷破碎煤和岩石的生產率要比用靜載荷破碎時高很多倍；因此研究煤和岩石在冲击載荷作用下的破碎規律是我們的首要任務。

很久以前就有人曾對冲击載荷作用下固体的破碎規律進行了研究。很久以前，列歐那爾德達文奇就對與冲击有關的問題（18）試行研究。在稍晚的時期，在十九世紀，特別在二十世紀初，很多學者研究了在冲击載荷作用下金屬的破壞過程。

金屬破壞規律的研究是現代科學（彈性理論、塑性理論、固体物理學、冲击波理論、固体的碰撞理論及其他）中許多部門的重要的任務之一。

在蘇聯，在 H. H. 达維金柯、B. I. 庫茲涅佐夫、E. M. 瑟文金、M. A. 鮑爾沙寧娜、A. H. 庫斯泰列娃、M. A. 基里切夫斯基等人領導下的科學團體正對在冲击載荷下金屬的破壞問題進行研究。

雖然在此領域中蘇聯科學獲得了極其重大的成就，然而目前這些問題還不能認為已經解決。

关于研究在冲击载荷作用下煤和岩石破碎过程的著述是很少的。

据我們所知，关于在冲击载荷作用下矿山岩石破碎問題的研究仅有 V. II. 别良金的一份著作[4]，而对在冲击载荷作用下煤的破碎問題的研究仅有 I. B. 卡尔宾科的一份著作[18]。自然，M. M. 普洛托基雅庫諾夫、II. C. 庫切洛夫及全苏煤矿研究院关于截煤過程的研究的著述以及 A. H. 杰烈宁的关于岩石截割研究的著作不能列于这类著述之内。

此外，还必須注意到，煤和岩石較之金属具有更复杂的結構。

对在冲击载荷作用下，煤和岩石破碎規律的研究，也正和对金属的研究一样，包括很多問題，并且要求学术机关的工作人員进行頑强的劳动。

我們研究工作①的基本結果在下面叙述，自然它沒有能填滿所指出的空白。我們實驗室研究的任务，包括有在冲击载荷作用下对煤和岩石試件破碎过程机械性方面的研究，并部分的研究了这些過程的能容量。

本文中闡述的一些工作的主要結果，无疑地在今后需要补充和进一步研究。在我們看来，这些結果在理論上和实际上都

① 列寧格勒矿业学院在1951年至1952年間进行了“綜合岩石物理机械性質的研究材料以及从冲击载荷作用下破碎過程的觀点研究岩石”的工作。此工作的主要执行者是A. H. 庫洛夫金副教授；领导和拟定該工作方法的是A. H. 庫洛夫金和A. A. 鮑里索夫副教授。技术科学硕士E. H. 塔拉先柯娃以及采矿工程师E. II. 巴卢林亦参加了此工作。

我們實驗室研究的基本結果將于本文中叙述，此實驗室研究是上面指出的工作的根本修改部分，并且作者于1953年所进行的研究对这些實驗室的研究又作了主要补充。上面所指出的1951年至1952年間的工作是属于“从過程的能量觀点对水流与用冲击机构破碎岩石過程的實驗与理論的研究”的綜合工作之內的，此綜合工作的科学领导人是B. II. 格雷基耶夫教授，主要执行者是H. G. 加里尼茨基副教授。

有重要的意义。

作者希望，这些結果能帮助矿山机械設計師較以前更有根据的来解决这些机械的工作机构的設計問題，而对科学工作者，在制訂进一步的研究方法上有所帮助。

1. 研究的方法

以下見解确定为实验室研究方法的基础。

1. 在金属的动力学試驗方面的各种不同的专家，H.H. 达維琴柯、B.I. 庫茲涅佐夫及其他人，不止一次的指出过，“冲击”本身这一概念是完全不确定的。

这是由于，在现代，载荷状况只能在質的概念基础上来分类。

所謂冲击方式载荷，即载荷突然加上，并且加载过程比在静止方式下加载过程短的多。

因为“冲击”概念不包含冲击物体速度数值方面的量的准确性，所以作用物体在碰撞开始的瞬间，已經具有一个很小的速度时，对于这种情况就可称为冲击方式。

不說是关于冲击载荷的作用，而說是加载荷的速度对不同物体的破碎或变形性質的影响，这就更正确些。然而，在与被作用的物体相接触时的传递物体载荷速度的絕對值的大小，不應該引起对破碎或变形过程的影响。在負載時間內，緩慢发生的有效值的大小起着重要的作用。換言之，在其他条件都相同的情况下，这种緩慢决定着载荷的时间。

很可能，在破碎物体内的弹性变形传播速度的大小，对该物体的载荷速度有极大影响。但这問題还没有研究。

2. 岩石是各向异性物体，具有极其复杂的結構，往往具有宏观及微观的裂縫而使結構更加复杂。

3. 煤是脆性各向异性物体，有由成分的分配情况所决定的复杂结构，具有由各种成因而形成的宏观或微观裂縫及层理，并且它們具有多种类型。

4. 在同一个煤层中、一个自然分层中、甚至在单独的一块中，煤的性质也是不一样的。煤的构造成分（玻璃纖維、絲炭纖維、坚固的植物残骸等等）按其结构及物理机械性而言是很不一样的。

5. 煤的物理机械性质决定于各个不同因素的总合：絲炭化程度；連結力的性质及大小，结构，应力状态，含瓦斯度，湿度，施加载荷的性质与速度，工作面裸露时间的长短等。

6. 煤在工作面中的应力状态与地压大小、自由面数目、工作面移动速度、工作面長度、頂板管理方法（在回采工作中）、瓦斯渗出的性质与条件等有关。

7. 当以金属作动力試驗时，曾采用断裂和弯曲試驗。在該情況和其他情況下，試件沿整个橫断面积受有載荷。这种情况与結構（机器、机构、建筑物）个别部份的工作相符合。被切开的試件的弯曲試驗除外。

采矿机械的工作工具仅作用在工作面不大的部份上，亦即載荷仅加在工作面的一小部份上。此外，岩石以及煤的埋藏产状，仅允許加于工作面上的載荷，主要为挤压載荷，因此一般同时产生着各种不同类型的破坏（拉断、剪断、压碎、在个别情况下——弯曲）。

8. 按照煤和岩石的埋藏条件，在工作面这个或那个部分上施加载荷的方向也可在极大范围内改变。

按照煤或岩石在工作面的破碎条件，为了在試驗室条件下研究它們的破碎过程，采用了下述方法。

1. 煤、岩石和人造材料的試件的破碎是在立式冲击試驗机

上以及一部分試件是在擺式衝擊試驗機上以衝擊載荷進行的。破碎用各種形狀的衝擊器以單次衝擊的方式進行。

2. 將尺寸為 $70 \times 70 \times 70$ 公厘的自由試件以及置於沖模中具有一个到三個自由面(平面)、其尺寸達 $150 \times 100 \times 100$ 公厘的試件加以破壞。制作試驗所用的材料以及其物理機械性列於表1中。

表 1

材 料 名 称	極限抗壓強度 (立方體的), 公斤/公分 ²	極限抗 壓強度, 公斤/公分 ²	法 向 強 性 模 數, 公斤/公分 ²	彈 性 模 數, 公斤/公分 ²	橫 向 变 形 系 数
“塔爾干烏克倫” 矿井的普洛考比 耶夫煤层的煤	沿层理面为300 垂直层理面为 416	沿层理面 为15	沿层理面为 3.67×10^4 $\sim 3.90 \times 10^4$ 垂直于层理面 为 2.49×10^4 $\sim 2.87 \times 10^4$	沿层理面为 $0.289 \sim 0.301$ 垂直于层理 面为 $0.284 \sim 0.298$	
滑石片岩	903	105	5.6×10^5	0.3	
粘土頁岩	沿层理面为300 垂直层理面为 500	—	沿层理面为 3.5×10^5 垂直层理面为 1.5×10^5	0.3	
鹽 岩	270	12	2.6×10^5	0.22	
雪花石膏	84	15	4.4×10^4	0.177	
波特蘭水泥	500	20	$\sim 4 \times 10^5$	0.2	
石 蠶	20	—	1.5×10^6	—	
鋁礬土水泥	500	25	$\sim 5 \times 10^5$	0.2	
光学玻璃	5000	600	0.56×10^6	0.35	

3. 為了進行比較，在用衝擊載荷破碎試件的同时，並將同類型的數組試件，借沖模之助置於格格林式壓力機上，在靜載荷作用下研究了這些試件的破碎過程。

4. 用同一類型數組試件進行試件結構變化的研究；為此沖

击完这些試件之后将其鋸开，将鋸开面加工并进行研究。与此同时，将預先鋸开并扎入夹圈內的試件作关于在承受載荷后結構变化的研究；这些試件的各部份事先彼此相互磨光。在个别情况下，对受載荷的煤試件的鋸开表面进行了岩相学分析。

5. 撞針冲模的直径取5至50公厘；在主要試驗中，撞針和冲模直径取20公厘。

在試驗中采用了經過淬火鋼撞針和冲模（图1），它們具有以下諸形状：平的、錐形的（具有 60° 和 90° 的錐角）、球面的（其半径 $r=10$ 公厘）、蓄起形的。后一类型的撞針和平面撞針的不同在于它的冲击表面有不大的凹面（大約为0.01公厘）。

6. 碰撞时的作用力变化是用迴線式和阴极射綫式录波器測量的。

当应用迴線式录波器时，金屬絲发送器直接附加在撞針上，如图1所示（撞針5、6）。当用阴极射綫式录波器时，用

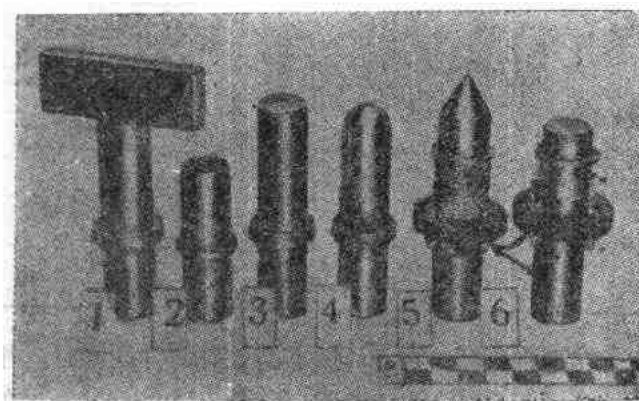


图1 撞針类型

1—沿整个試件的宽度复盖着試件的平头撞針，2—平头撞針，
3—蓄起形撞針，4—球面撞針，5—附有金屬絲发送器的錐形
撞針，6—附有金屬絲发送器的平头撞針。

压电石英作为发送器，将它置于撞針的下面。

7. 冲击物体与試件接触时的速度，在每秒 2 到 4 公尺的范围内变化，在个别的試件中，其速度达到每秒 5 公尺；加载荷的物体的能量在 1 到 12.5 公斤公尺的范围内变化。

以下所闡述的全部結論，其能量和載荷速度的值均在此范围内。

8. 在試驗室的試驗中曾联系到制备一定形状和尺寸的試件問題。在矿井中选取以及制造試件时，已經选取了較硬的与少裂縫的煤和岩石。軟弱的和裂縫发达的煤块通常是不好制作为試件的。因为我們在本階段的研究中主要注意的是現象的本質方面，并且为了避免过度的崩散，在試驗前試件要仔細的根据其外形进行选择。

9. 为了避免湿润的影响，煤、滑石、盐和其他材料的試件是用干法制造的。

10. 在試驗室中只研究了在冲击載荷作用下煤和岩石及其他具有較简单結構的材料破坏的質的方面，因此在我們的試驗中沒有模仿煤和岩石在工作面中的破坏条件，然而当我們研究破坏过程量的方面时，这种模仿則完全是必要的。

2. 在冲击載荷下的破碎过程

由于試件表面有粗糙和不平的現象，冲击时要从試件和撞針之間的缝隙中逐渐挤出空气，并由于其他甚至在一些非常仔細的条件下也不能完全消除的一些原因，致使試件的应力状态不是突然产生而是逐渐产生的。

自撞針和試件相接触的时候起，冲击物体的运动变慢了。这种变慢的情况是在极短时间内逐渐发展起来的。因此，載荷的作用力是在极短时间内逐渐增长起来的。

在冲击时作用力的变化是用录波器纪录的。图 2 为煤試件被破碎时用录波器記錄的波形图。关系 $P=f(t)$ (式中 P —— 冲击时的作用力, t —— 载荷的时间) 用粗实綫表示。其左边的一枝实綫是表示在理想情况下承受載荷时的 $P=f(t)$ 的关系。实际上, 在一般情况下作用力的增长是跃进式的, 因此曲綫 $P=f(t)$ 的左边一枝是折綫 (图 2 中的虚綫)。

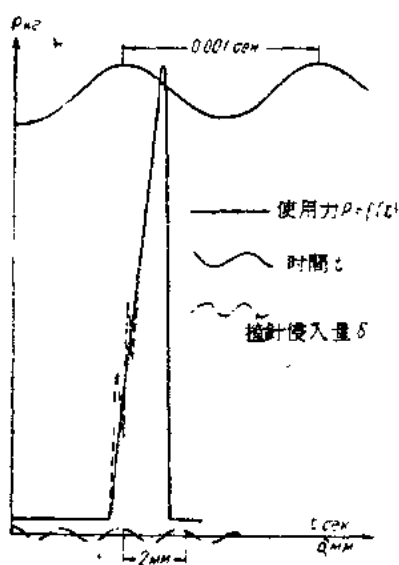


图 2 用平头撞針以冲击載荷破碎沒夾在模中的試件时用录波器 (阴极射綫的及迴路式的) 记录下来的作用力变化的典型曲綫。

在碰撞开始之前于电子射綫幕上繪出的。在該綫二頂峰之間的比例尺为 2 公厘。这种比例尺可使我們通过測定曲綫 $P=f(t)$ 分枝基础間的直綫段来决定撞針的侵入深度。

根据波形图的資料, 当煤的試件破碎时, 平头撞針的下沉量为 0.8 到 1 公厘。

以上現象表明在撞針下面压固区域的变形过程是跃进式的, 随着在撞針下压固区域所受的作用力 (撞針压力) 的增大, 材料的结构也发生变化, 并且在該区域内产生破碎压固和重新組合的过程。

曾发现試件开始破碎的瞬間是在作用力开始降低的时候。

由波形图知, 煤試件的破碎时间在 5×10^{-4} 到 3×10^{-4} 秒的范围内。

正弦曲綫的虚点綫表示变形的比例尺。該綫是

从撞針和試件接觸時起，在試件中即產生應力狀態，這種應力狀態的特點是在撞針之下有特殊區域，我們假定稱這種特殊區域為“壓固核”或“壓固區域”。

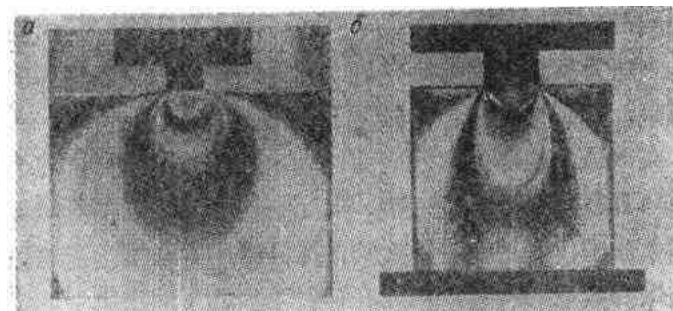


圖3 通過沖模作用以靜載荷時所具有的應力狀態特性（考克爾作）
a—在各向同性的彈性半平面中；b—在有限尺寸的各向同性彈性體中。

由於試件破碎過程的時間很短，所以當衝擊時，在作用力發展的過程中，直接研究試件的應力狀態是極其困難的。

用平頭撞針施加衝擊載荷，在一開始時試件的應力狀態特性，與通過平頭沖模開始施加靜載荷時試件的應力狀態特性，在質的方面是相似的。

在靜載荷作用下，試件的應力狀態特性用光學方法決定之，當試件的尺寸遠遠大於沖模的直徑時，其應力狀態如圖3,a所示。在此情況下，等色線很近似於通過沖模角的圖(25)。

當試件尺寸與沖模尺寸的比減小時，能引起應力狀態的變化，圖3,b所示為有限尺寸的物体的應力状态，試件的尺寸和沖模直徑之比與我們實驗中的一樣。在此情況下，等色線沿載荷作用的方向伸長，並呈橢圓形[20]。

圖3給了我們煤和岩石試件的初始應力狀態的簡略概念，這是因為感光材料在任何程度上也不能表達出煤和岩石構造和性質的特點。

随着撞針作用于試件上的压力的增大，毫无疑问，試件的应力状态将发生本质的变化，但是此問題沒有进行过研究。

撞針作用于試件上的压力增长至一定极限之前，不能引起試件的外部和压固核破坏。

当压力繼續增加时，撞針下部的局部变形就超过相应的强度极限，而直接在撞針作用下开始压固材料。

在理論上能够提出具有这样的机械性质的材料，即当其压固核只具有单一的弹性变形，就足以使試件表面部份破壞。在实际条件中，当用經過淬火的鋼撞針时，其硬度远远超过被破碎的煤和岩石的硬度，因而在撞針下面的压固核上层的一些压潰現象是不可避免的。

在所有冲击物体的能量不足以破碎試件的情况下，被撞針冲击后的試件都留有凹陷，这就是上述問題的証明。在由一切試件材料（煤、滑石片岩和粘土頁岩、石灰石、岩盐、水泥、雪花石膏、石腊及其他）作成的試件中，都有这种現象。这种压潰程度随材料的机械特性与試驗条件的不同而有所不同。

当撞針的压力繼續增加时，压固区域逐渐引向材料分布层的更深处。用平头撞針破碎雪花石膏試件时，它的压固核的发展过程，依次的示于图4、5和6中。

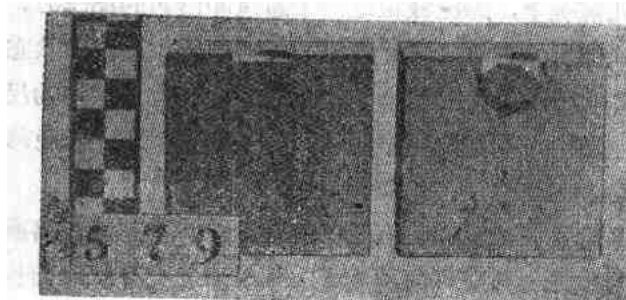


图4 冲击载荷作用于雪花石膏試件上在早期压固核所形成的相

随着压固核的形成和发展，試件本身的变形也在增大。当压固核的变形（或它的压紧程度）达到某一限度时，在核的内

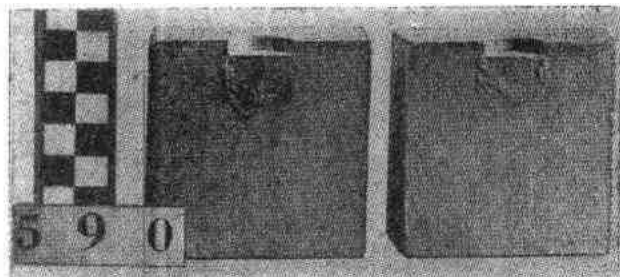


图5 冲击载荷作用于雪花石膏試件上在較晚阶段压固核的构成。

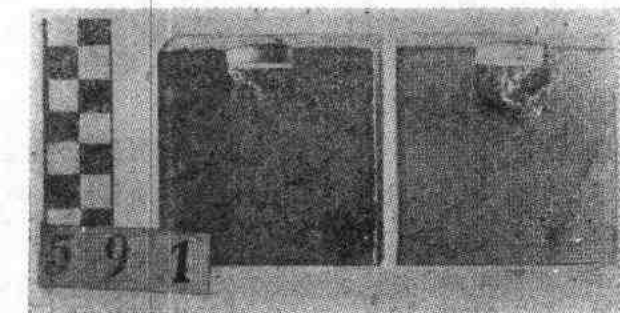


图6 在第一个裂紋出現前，在冲击载荷作用下的雪花石膏試件內的压固核的发展情况。

部，試件的压固核下面，产生了第一个髮状裂紋（图7）。此时在試件表面及压固核内看不出任何裂縫，甚至在扩大18倍的情况下也看不出来。

对图7所示裂縫的发生和发展的性質在数十个試件中进行了研究，它十分明显的表明，試件的破碎是由于压固核的变形作用所引起的；試件破碎的开始显然早于在撞針下面分离出“尖劈”的时间。因此，“尖劈”或“圓錐体”不是試件破坏的原因。尖劈是压固核的破坏形式，这种破坏稍晚于裂紋的发展阶段（参看图7）。

作用力的繼續增加将引起这一个裂縫的发展，如果有几个裂縫的話，則將引起这些裂縫的发展。这裂縫沿冲击方向发

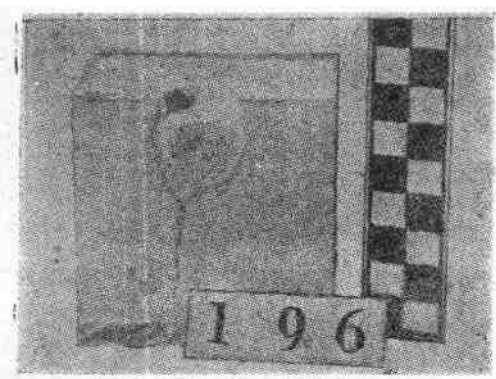


图7 試件中第一个裂縫的形成

展，并向着圓周发展。它繞过压固核，并且发展到試件的上表面和側表面，起初在試件的这些側表面上裂縫也是沿着冲击方向分布的。

第一个裂縫的出現，能急剧的改变試件和压固核的应力状态。如果说在裂縫出現之前，压固核处于体积应力状态下，并且从側面受到試件外部的夹持的話，則当裂縫出現并发展之后，这种試件外部对压固核的夾持影响就逐渐消失，并且压固核的应力状态愈來愈接近于線的应力状态。

对着裂縫的压固核的一些部分，所处的应力状态与其他部份不同，这也会呈现出这些部分的破碎特殊形式：破坏成錐状（楔状）羽翼形。

試件的繼續破碎将根据冲击物体在該瞬間具有的能量而变。

1. 当冲击物体有很少的过剩能量时，则在核内会发生一些薄弱平面，这些平面发展到劈开压固核并与主要裂縫連接起来

的一个裂縫中(图8)，因此，将試件分成两部分。在这种情况下，劈开压固核的这一裂縫由压固核中分出楔形块，楔块的一半还和一半試件牢固的連結着。

2.当冲击物体有很多的过剩能量，而在破坏試件前其压力比上述情况大得很多时；在此情况下，在核內的薄弱平面是对称发展的，并分离出具有斧形的楔块(图9)，而不是錐形的，虽然撞針和試件的接触面积是圓形的。斧形楔块是沿着裂縫方向的。

3.当在試件最終破坏之前，冲击物体具有极大的过剩能量儲备时，则在核中会分出錐形楔块及羽毛片，这些楔块沿着主要裂縫伸長(图10)。有时此羽状小片明显的自楔块中分出。

由粘土頁岩、滑石片岩、水泥和石腊制的試件在破碎时也有这样的羽状小片。錐形楔块的形成是因为当冲击物体具有足够的过剩能量时，在試件內所发生的不是一个而是同时发生几个多多少少彼此对称分布着的裂縫。这就事先决定了，当撞針具有对称的接触面时，能产生具有相对对称形状的楔块。

当用冲击載荷破碎石腊試件时，在試件上面清楚的呈现出很多徑向裂縫，它們从与撞針的接触表面的輪廓向外圍发展，这与 A.納达依(25)用靜載荷破碎石腊試件时所呈现的情况相类似。

不管冲击能量和速度如何，在試件破碎后核的外部分总是与相应的試件部份牢固的联結着。

因此，如果把破碎現象看成物体分成为若干部分的过程，而不是把它看成为冲头压入的过程的話，那末，試件的破碎是由核的变形和压固达到了一定极限的結果。

破碎过程中分离出的錐体(楔块)，就是压固核的破坏形式，就是压固核的內面部分。